



نقش جدایش بلورین در شکل‌گیری ماقمای سنگ‌های آتشفسانی و نیمه آتشفسانی کرتاسه‌ی بالائی ناودیس ناگله‌سر، جنوب محمود‌آباد، شمال ایران

سعید تاکی*

دانشگاه آزاد اسلامی واحد لاهیجان، دانشکده علوم پایه، گروه زمین‌شناسی، لاهیجان، ایران

(دریافت مقاله: ۹۵/۶/۲۴، نسخه نهایی: ۹۵/۹/۹)

چکیده: سنگ‌های آتشفسانی و نیمه آتشفسانی کرتاسه‌ی بالائی ناگله‌سر (جنوب شهرستان محمود‌آباد، شمال ایران) عبارتند از ڈلریت، اولیوین بازلت، تراکی آندزیت و تراکیت قلیایی. این واحدها با چینه‌بندی منظم به گونه‌ای قرار گرفته‌اند که یک ناودیس را با روند محوری WNW – ESE تشکیل می‌دهند. داده‌های شیمیائی نمونه‌های مورد بررسی و نمودارهای متمایز‌کننده یک سری قلیایی متوسط با میوال را مشخص می‌کنند. الگوهای REE و نمودارهای عناصر کمیاب ناسازگار نشان دهنده‌ی پیدایش آنها از یک خاستگاه گوشه‌ای مشابه با OIB و از نظر محتوای کانیائی حاوی الیوین، ارتوپیروکسن و کلینوپیروکسن است. نمودارهای تغییرات و الگوهای نمودارهای عنکبوتی حکایت از تحول ماقمای مادر از طریق فرآیند غالب جدایش بلوری دارند. نمودارهای نسبت‌های عناصر اصلی و کمیاب به روشنی نشان می‌دهد که بلورهای جدایشده غالباً کلینوپیروکسن، اکسیدهای آهن و تیتانیوم و آمفیبول بوده‌اند. ماقمای سازنده‌ی این سنگ‌ها با مواد پوسته‌ی قاره‌ای تا حدی آلایش یافته و در یک جایگاه کافت درون قاره‌ای ایجاد شده است.

واژه‌های کلیدی: ناگله‌سر؛ سنگ‌های آتشفسانی؛ کرتاسه‌ی بالائی؛ کافت درون قاره؛ سری قلیایی؛ جدایش بلورین.

افرون بر دگرگونی و ماقماتیسم، بسته‌شدن زمین درزهای کهن و فرارانش آمیزه‌های افیولیتی روی حاشیه ریزقاره‌ها، از ویژگی‌های کرتاسه‌ی ایران است که در اواخر کرتاسه رخ داده و در برخی نقاط تا پالوسن ادامه داشته است [۱]. از نظر زمانی، سنگ‌های آتشفسانی کرتاسه‌ی ایران را می‌توان به دو گروه کرتاسه پائین و کرتاسه‌ی بالا تقسیم کرد. گذاره‌های کرتاسه‌ی بالا، دو خاستگاه متفاوت دارد، بخشی از آنها حاصل ذوب پوسته‌ی قاره‌ای و بخش دیگر به آخرین مراحل ماقماتیسم اقیانوسی وابسته است [۱].

منطقه‌ی ناگله سر واقع در شمال ایران، در رشته کوه‌های البرز، جنوب شهرستان محمود‌آباد (استان مازندران) و در حدود ۹۰ کیلومتری شمال شرق تهران جای دارد. این منطقه بین طولهای جغرافیایی 52° تا 52° $52'$ و عرضهای جغرافیایی 36° تا $36^{\circ} 36'$ قرار گرفته است و از نظر

مقدمه

یکی از ویژگی‌های کرتاسه‌ی ایران، تاثیر چشمگیر تنش‌های زمین‌ساختی است که گاه به صورت فشارشی و گاهی به صورت کششی بوده‌اند. در حالت کششی، فرونشست‌های باریک و عمیق (وابسته به شکل‌گیری تیس جوان) به وجود آمده‌اند که در بسیاری از حالتها، تا رسیدن به گوشه‌های پیش رفته‌اند و در نتیجه‌ی آن، ضمن تشكیل کافت‌های درون قاره‌ای عمیق و انباست رسوب‌های، مواد ماقمایی، به ویژه وابسته به گوشه، در این فرونشست‌ها جایگیر شده‌اند [۱]. در فازهای فشرده، ضمن بسته شدن ریفت‌های درون قاره‌ای چین‌خوردگی، دگرگونی و آمیختگی رسوب‌ها روی داده است. ماقمایی کرتاسه پائین گسترش محدودی دارد، در حالی که، جنبش‌های کرتاسه پسین با دگرگونی و ماقماتیسم، به ویژه افیولیت‌زائی همراه بوده و مسائل جالبی را در ارتباط با اقیانوس‌زائی مطرح می‌کند.

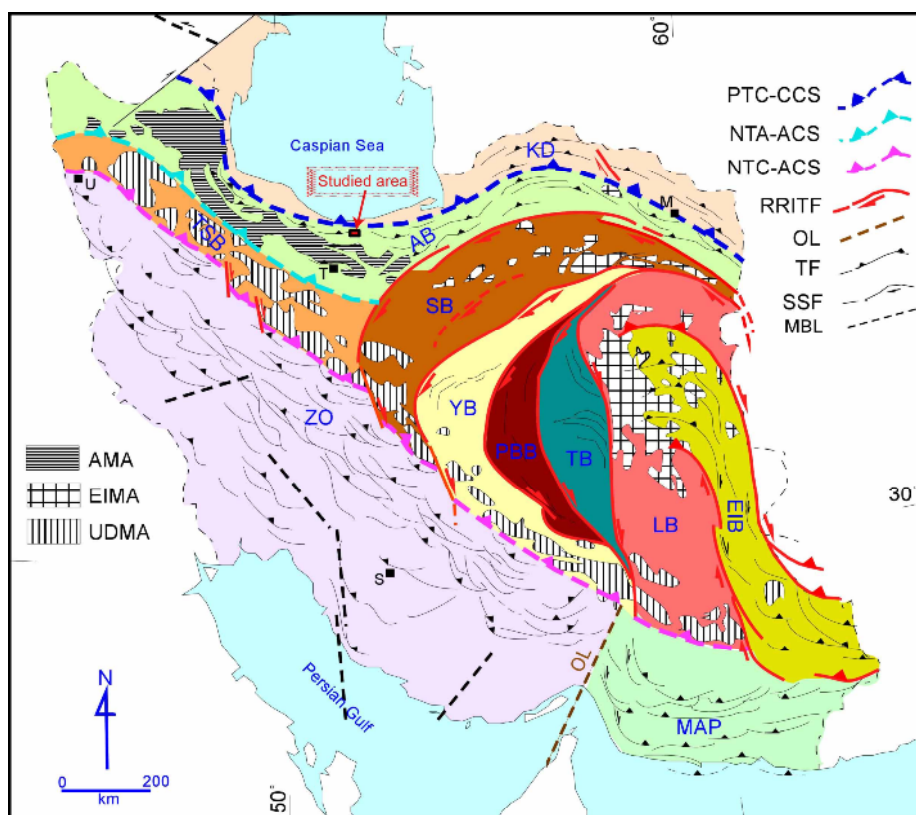
*نویسنده مسئول، تلفن: ۰۹۱۲۲۹۶۱۱۶۳، پست الکترونیکی: taki_saeed2002@yahoo.com

میکروسکوپی انتخاب شدند. با بررسی مقاطع میکروسکوپی از میان نادگرسان ترین نمونه‌ها و با توجه به تنوع ترکیب شیمیائی، ۷ نمونه برای آنالیز شیمیائی سنگ کل انتخاب و به شرکت SGS کانادا ارسال شدند. برای اندازه‌گیری عناصر اصلی، نمونه پودر شده را با استفاده از کمک ذوب لیتیم برات ذوب و ICP-AES بهوسیله‌ی اسید نیتریک رقیق حل کرده و از روش ICP-AES مقادیر این عناصر به دست آمدند. از دست روی وزن در اثر گرمایش (L.O.I) با توزین نمونه پس از گرمایش ۱۰۰۰ درجه سلسیوس محاسبه شد. هضم نمونه برای تشخیص فراوانی عناصر خاکی نادر و عناصر دیرگذار (همانند عناصر اصلی)، اتحالن در اسید نیتریک رقیق صورت گرفت در حالی که برای فلزات پایه، فلزات با ارزش و ردیاب، نمونه در تیزاب سلطانی حل و سپس به روش ICP-MS اندازه‌گیری شدند. پس از دریافت نتایج آزمایشگاهی (جدول ۱)، داده‌ها پردازش و نتیجه نهایی گزارش شد.

ساختراری بر پایه‌ی رده‌بندی [۲] جزء کمربند البرز است (شکل ۱). بخش وسیعی از بروونزدهای این منطقه را سنگ‌های آتشفشارانی و نیمه‌آتشفشارانی کرتاسه (پائینی و بالائی) تشکیل می‌دهد. در این پژوهش سعی شده است تا با استفاده از داده‌های ژئوشیمیائی سنگ‌های آتشفشارانی و نیمه‌آتشفشارانی کرتاسه‌ی بالائی، ماهیت و جایگاه زمین‌ساختی آنها مشخص شود.

روش بررسی

پس از جمع‌آوری اطلاعات اولیه با تکیه بر گزارشات و نقشه‌های زمین‌شناسی موجود، نمونه‌برداری از رخمنون‌های آذرین منطقه انجام شد. از آنجا که غالب بروونزدهای یاد شده به صورت گذازه‌های بین‌چینه‌ای با سنگ‌های رسوی دیده می‌شوند، سعی شد تا نمونه‌برداری‌ها عمود بر راستای لایه‌ها صورت گیرد تا تمامی انواع سنگ‌های آتشفشارانی برداشت شوند. پس از جمع‌آوری حدود ۵۰ نمونه، ۳۰ نمونه برای تهیه مقطع نازک



Tectonic subdivisions of Iran. Abbreviations: AB - Alborz belt, AMA - Alborz magmatic assemblage, EIB - East Iran belt, EIMA - East Iran magmatic assemblage, KD - Kopeh Dagh fold belt, LB - Lut block, M - Mashad, MAP - Makran accretionary prism, MBL - Major basement lineament, NTA-ACS - Neo-tethyan arc-arc collisional suture, NTC-ACS - Neo-Tethyan continent-arc collisional suture, OL - Oman line, PTC-CCS - Paleo-Tethyan continent-continent collisional suture, RRITF - Rotation-related intracontinental transfer fault, TF - Thrust fault, SSF - Strike-slip fault, PBB - Posht-e-Badam block, S - Shiraz, SB - Sabzevar block, T - Tehran, TB - Tabas block, TSB - Tabriz-Saveh block, U - Urumieh, UDMA - Urumieh-Dokhtar magmatic assemblage, YB - Yazd block, ZO - Zagros orogen. (After Alavi, 1991).

شکل ۱ نمایش گستره‌ی مورد بررسی در نقشه‌ی ساختاری ایران [۲].

جدول ۱ نتایج بررسی شیمیایی سنگ کل مربوط به سنگ‌های آتشفشاری و نیمه‌آتشفشاری کرتاسه بالائی منطقه ناگله‌سر (اکسید عناصر اصلی بر حسب درصد و عناصر کمیاب بر حسب ppm).

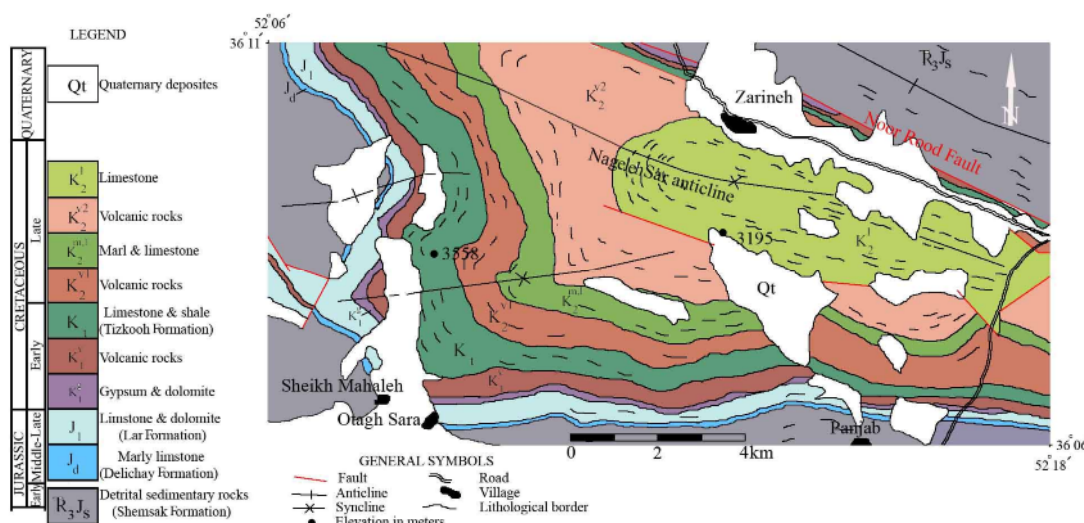
Sample	۱	۲	۴	۵	۶	۷	۸
SiO ₂	۶۰	۴۵.۳	۵۸.۴	۴۴.۶	۴۲.۴	۶۰.۵	۵۴.۲
Al ₂ O ₃	۱۷.۶	۱۵.۷	۱۷.۵	۱۶.۶	۱۸.۷	۱۵.۱	۱۷.۲
CaO	۱۱.۹	۶.۶۲	۰.۹۵	۷.۶۳	۱۰.۴	۲.۸۵	۲.۴۰
Na ₂ O	۰.۹	۳.۸	۰.۱	۳.۹	۳.۸	۴.۶	۷.۵
K ₂ O	۶.۴۲	۰.۸۸	۰.۸۶	۱.۴۸	۰.۷۵	۴.۱۸	۲.۰۱
Fe ₂ O ₃	۳.۲۲	۱۱.۲	۵.۳۹	۱۲.۱	۸.۷۹	۴.۶۲	۵.۳۱
MgO	۰.۰۹	۴.۵۵	۰.۶۰	۳.۶۱	۱.۲	۲.۲۶	۰.۵۷
MnO	۰.۰۷	۰.۱۴	۰.۰۶	۰.۱۷	۰.۲۱	۰.۰۷	۰.۲۰
Cr ₂ O ₃	<۰.۰۱	۰.۰۳	<۰.۰۱	<۰.۰۱	<۰.۰۱	<۰.۰۱	<۰.۰۱
P ₂ O ₅	۰.۰۸	۰.۲۴	۰.۱۹	۱.۰۶	۰.۴۲	۰.۴۸	۰.۳۳
TiO ₂	۰.۵۵	۱.۷۳	۰.۸۳	۳.۰۹	۲.۷۴	۰.۹۱	۱.۰۸
LOI	۲۱.۳	۷.۰۵	۱.۷۶	۳.۱۶	۷.۵۹	۰.۸۲	۴.۲۳
Sum	۹۷.۷	۹۷.۳	۹۶.۶	۹۸.۴	۹۶.۸	۹۷.۳	۹۶
100MgO(MgO+FeO)	۱۰.۹	۶۴.۲	۳۲.۹	۵۴.۸	۳۳.۸	۶۸.۳	۳۲.۱
Ba	۲۲.۰	۲.۰۰	۱۴۲.۰	۷۲.۰	۲۹.۰	۱۲۵.۰	۴۲.۰
Sr	۷.۰	۵۳.۰	۵۶.۰	۱۱۱.۰	۸۲.۰	۱۱۹.۰	۵۵.۰
Ce	۱۴.۵	۳۹.۳	۱۲۵	۱۲۴	۴۷.۶	۱۶۵	۱۱۲
Co	۱.۸	۴۹.۲	۳.۸	۳۹.۱	۲۱.۴	۱۴	۰.۵۶
Cs	۰.۸	۰.۴	۰.۵	۰.۲	۰.۳	۴	۰.۹
Dy	۷.۵۲	۳.۹۸	۷.۱۳	۶.۰۵	۵.۱۳	۲.۹۱	۴.۹۶
Er	۳.۷۹	۲.۱۱	۳.۵۹	۲.۷۵	۲.۰۳	۱.۲۹	۲.۶۲
Eu	۱.۶۸	۱.۴۱	۲.۹۶	۳.۳۱	۲.۱۶	۱.۸۳	۲.۳۲
Gd	۷.۷۰	۴.۲۵	۷.۶۷	۸.۰۱	۵.۸۴	۴.۵۴	۵.۷۴
Hf	۱.۵	۳	۱۲	۷	۳	۸	۹
Ho	۱.۴۵	۰.۸۱	۱.۴۱	۱.۱۱	۱.۰۲	۰.۵۰	۰.۹۲
La	۷۴	۱۹.۹	۶۶.۲	۶۴.۸	۲۲.۴	۹۵.۹	۵۸.۴
Lu	۰.۵۴	۰.۲۶	۰.۵۱	۰.۳۲	۰.۳۴	۰.۱۷	۰.۱۳
Nb	۹.۰	۲۹	۹.۰	۷۴	۲۱	۵۶	۷۳
Nd	۵۵.۵	۱۹.۳	۵۰.۷	۵۶.۶	۲۷.۸	۵۴.۹	۴۵.۰۱
Ni	<۵	۸۳	<۵	۲۲	<۵	۲۸	<۵
Pr	۱۶.۱	۴.۷۲	۱۴.۱	۱۴.۸	۶.۴۰	۱۷	۱۲.۰۸
Rb	۱۰.۷	۱۲.۵	۹۶.۹	۱۹.۲	۱۴.۸	۱۵۳	۵۰.۱
Sm	۹.۶	۴.۳	۹.۱	۱۰.۴	۶.۱	۷.۶	۷.۸
Ta	۶.۲	۱.۴	۵.۳	۴.۴	۱.۳	۳.۶	۰.۵۱
Tb	۱.۲۲	۰.۶۵	۱.۲۰	۱.۱۰	۰.۹۳	۰.۵۶	۰.۸۵
Th	۱.۵	۲.۵	۱۲	۵.۹	۲.۶	۳۰.۷	۹.۸
Tm	۰.۰۹	۰.۲۸	۰.۰۵	۰.۳۳	۰.۲۶	۰.۱۷	۰.۳۳
U	۵.۲۵	۰.۷۹	۲.۰۴	۱.۸۱	۰.۴۳	۶.۲۶	۲.۵۱
V	۷	۲۴.۸	۱۳	۱۷۶	۲۴۳	۶۹	۲۴
Y	۳۶.۱	۲۰.۶	۳۵.۹	۲۹.۷	۲۶.۵	۱۴.۶	۲۵
Yb	۳.۸	۲	۳.۶	۲.۳	۲.۳	۱.۲	۲.۳
Zr	۶۶.۷	۱۲۰	۵۰.۹	۲۹۳	۱۱۴	۳۴۲	۴۱۳

کند. از نظر چینه‌شناسی واحدهای بروونزد یافته در منطقه‌ی تریاس بالائی - ژوراسیک زیرین (سازند شمشک)، آهک‌های مارنی ژوراسیک میانی - بالائی (سازند دلیچای)، آهک و دولومیت ژوراسیک بالائی (سازند لار)، گچ و دولومیت کرتاسه پائینی، سنگ‌های آتشفشاری کرتاسه‌ی پائینی، سنگ آهک و شیل سیاه آهکی - رُسی (سازند تیزکوه)، سنگ‌های آتشفشاری

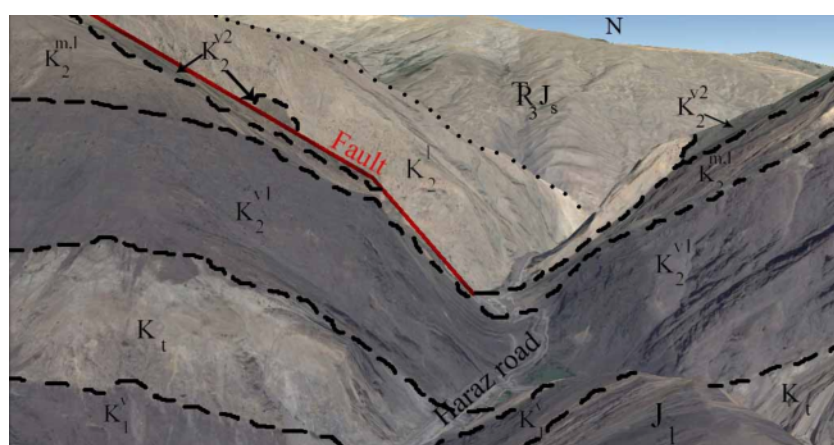
زمین‌شناسی عمومی
رخمنون‌های سنگی در منطقه‌ی مورد بررسی مشتمل بر واحدهای (رسوبی و آتشفشاری) مزوژوئیک و غالباً وابسته به ژوراسیک بالائی و کرتاسه است. این واحدها با چینه‌بندی منظم به گونه‌ای قرار داشتند که یک ناویدیس را با روند محوری WNW-ESE تشکیل دادند (شکل ۲). مرز شمالی ناویدیس ناگله‌سر گسل نورود است که آنرا از تقدیس عمارت جدا می-

تیره تا سیاه ضخیم‌لایه تا توده‌ای شکل با میان‌لایه‌های توفیت، توفیت ماسه‌دار و آگلومراهای قهقهه‌ای - سبز رنگ و افق دولومیتی تشکیل شده است. همبری سنگ‌های این بخش با سازند تیزکوه زیرین غیرتدریجی و تُند است ولی در بالا به گونه‌ی تدریجی از سنگ‌های بیشتر آتشفسانی به نهشته‌های دریایی بیشتر آهکی تبدیل می‌شود [۳]. رخساره‌ی سنگ‌های آتشفسانی بخش بالائی شباهت زیادی به سنگ‌های آتشفسانی بخش پائینی دارد و از ۲۰۰ تا ۳۱۲ متر سنگ‌های آتشفسانی خصیم‌لایه تا توده‌ای شکل سبز - سیاه رنگ بازالت، دیاباز و مقدار کمی سنگ‌های آذرآواری تشکیل شده است. در بخش پائینی آن به ندرت میان‌لایه‌های آگلومرا و توفیت آهکی ماسه‌ای فسیل‌دار سبز - خاکستری و سرخ رنگ دیده می‌شود [۳].

کرتاسه‌ی بالائی، مارن و سنگ آهک کرتاسه‌ی بالائی، سنگ آهک گلوبوترونکاندار (کرتاسه‌ی بالائی) و نهشته‌های آبرفتی کواترنر هستند (شکل‌های ۲ و ۳) [۳]. فعالیت‌های آتشفسانی یاد شده در کرتاسه به گونه‌ای است که انواع مربوط به کرتاسه‌ی پائینی گسترشی بیشتر تا نواحی دماوند و فیروزکوه داشته، ولی در کرتاسه‌ی بالائی محدودتر و منحصر به ناحیه‌ی دره‌ی چالوس و ناحیه‌ی پنجاب شده است. در منطقه‌ی مورد بررسی سنگ‌های آتشفسانی کرتاسه‌ی بالائی به لحاظ حضور افقی از سنگ‌های رسوبی نظیر مارن و سنگ آهک در میان آن به دو بخش پائینی و بالائی قابل تفکیک است. سنگ‌های آتشفسانی بخش پائینی در بُرش شمال غرب پنجاب حدود ۱۹۰ متر ضخامت دارد و از تناویه‌ای از سنگ آتشفسانی (دیاباز) سبز



شکل ۲ نقشه‌ی زمین‌شناسی ناویدیس مرکب ناگله‌سر [۳]



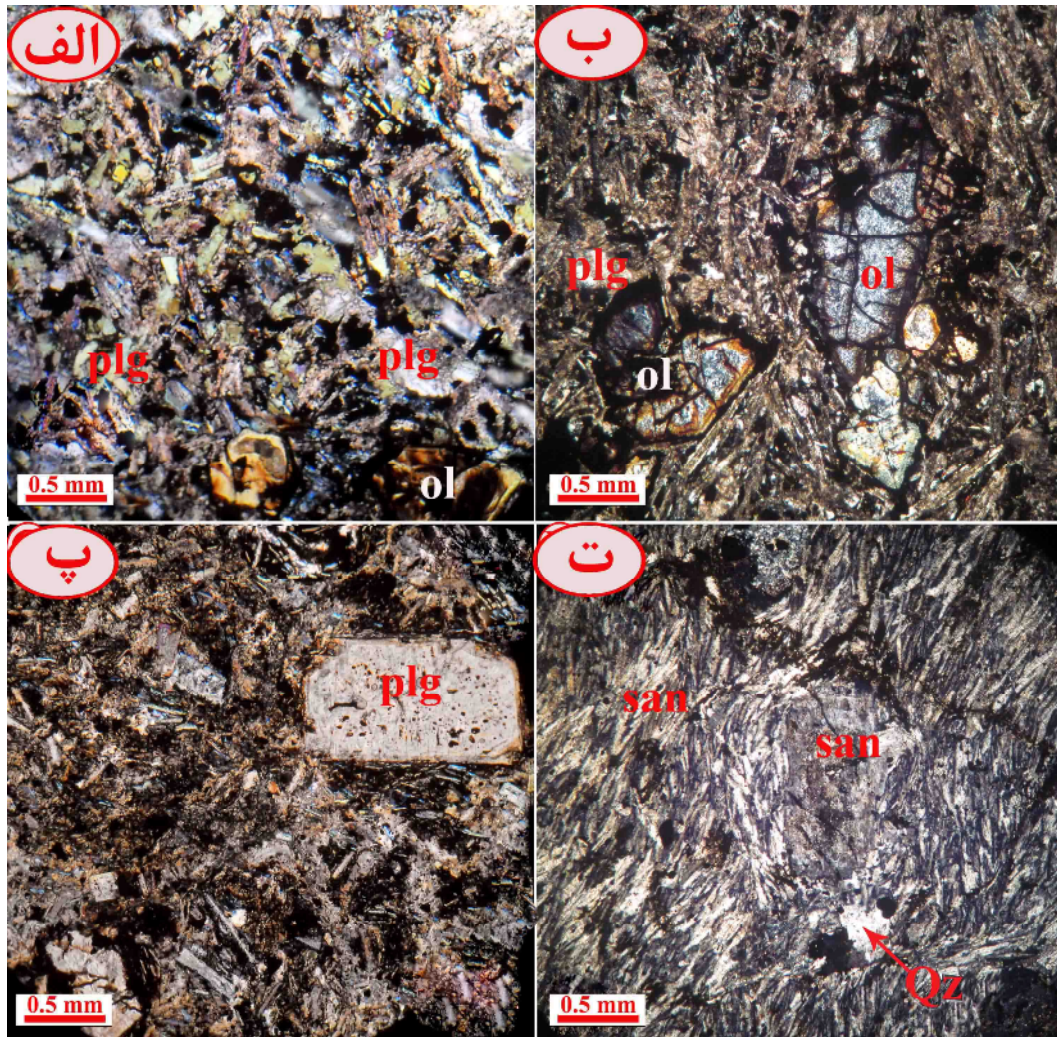
شکل ۳ دورنمایی از واحدهای سنگی موجود در یال جنوبی ناویدیس ناگله‌سر که از محل ارتفاعات شمال‌شرق و ۲ کیلومتری روستای پنجاب از دره جاده هراز و رو به شمال گرفته شده است (مفهوم علائم در شکل ۲ آمده است).

بحث و بررسی سنگ‌نگاری

شرح سنگ‌نگاری سنگ‌های آتشفشاری و نیمه آتشفشاری کرتاسه‌ی بالائی در منطقه‌ی مورد بررسی به قرار زیر است:

ذُریت

ذُریت‌ها روی زمین به صورت توده‌های کوچک و یا دایک ظاهر می‌شوند. رنگ سطحی آنها سبز تیره است. بافت این سنگ‌ها غالباً درون دانه‌ای ولی به سمت حاشیه‌ی توده‌ها به مقدار کم بادامکی است و حفره‌ها از کلیست پرشده‌اند. کانی‌ها به ترتیب فراوانی عبارتند از: پلاژیوکلاز، کلینوپیروکسن‌های بهشت دگرسان، کانی‌های کدر و الیوین‌های ایدنگسیتی شده‌اند.



شکل ۴ تصاویر میکروسکوپی در نور xpl از: (الف) ذُریت. پلاژیوکلازها (plg) شدیداً کاثولینیتی و الیوینها (ol) نیز ایدنگسیتی شده‌اند، (ب) الیوین بازالت با بافت پورفیری. درشت‌بلورهای الیوین ایدنگسیتی در خمیره‌ی متشکل از میکرولیت‌های پلاژیوکلاز و کانی‌های دگرسان، (پ) تراکی آندزیت. درشت‌بلور پلاژیوکلاز دارای بافت غربالی و در خمیره نیز سانیدین (san) وجود دارد (ت) آکالی تراکیت.

رنگ سبز تیره دیده می‌شوند. بافت آنها متنوع است بطوریکه انواع تراکیتی، پورفیری با خمیره میکرولیتی جهتیافته تا بادامکی در آنها مشاهده می‌شود. درشتبلورها از جنس بلورهای خود شکل سانیدین و دارای دوقلوئی کارلسپاد هستند که گاهی به طور کامل کائولینیتی هستند. طول آنها گاهی به ۲ میلیمتر می‌رسد (شکل ۴ ت). خمیره این سنگ‌ها تقریباً به طور کامل از ریزبلورهای سانیدین تشکیل شده است با این حال در بعضی نمونه‌ها آثاری از آمفیبولهای اپاسیتی شده، کانی‌های کدر و کوارتز نیز دیده می‌شوند. مقدار کوارتز در بعضی از انواع به اندازه‌ای است که نام تراکیت قلیایی کوارتزدار را به آنها می‌توان اطلاق کرد (شکل ۴ ت). سانیدین‌های غالب این سنگ‌ها دستخوش کائولینیتی شده و این سنگ‌ها آغشتنگی به اکسید آهن نشان می‌دهند. این سنگ‌ها به‌وسیله‌ی رگه‌های کلسیتی متعددی قطع شده‌اند.

ژئوشیمی

سنگ‌های منطقه مورد بررسی هم از نظر ترکیب شیمیایی و هم از ترکیب سنگنگاری دوگانه بوده و دو گروه مجزا را تشکیل می‌دهند. دسته‌ی اول سنگ‌های مافیک (بازالتی) و دسته‌ی دوم سنگ‌های فلزیک (تراکیتی) را تشکیل می‌دهند، این سنگ‌ها از نظر سری مagmaئی جزء سری قلیایی (متوسط) هستند (شکل ۵ الف) [۴]. علیرغم اینکه نمودار مجموع قلیایی-سیلیس از مفیدترین روش‌های موجود برای رده‌بندی سنگ‌های آتشفسانی است ولی این روش برای سنگ‌های آتشفسانی خیلی معمول به کار می‌رود و برای سنگ‌های غنی از پتاسیم و سنگ‌های با منیزیم بالا نامناسب است و معمولاً برای سنگ‌های آتشفسانی هوازده، دگرسان و دگرگون شده به کار نمی‌رود، زیرا احتمال تحرک قلیایی‌ها وجود دارد از آنجا که نمونه‌های این منطقه کمبایش دستخوش دگرسانی شده‌اند، ما از نمودار [۵] که در آن عناصر غیر متحرک به کار رفته استفاده کردیم (شکل ۵ ب). بنابر نظر [۷۶] نسبت جفت عناصر به شدت ناسازگار در یک سری magmaئی ثابت بوده و بازتاب دهنده‌ی ناحیه خاستگاه آنهاست (جفت عناصری نظیر La-Ce، Zr-Y، Ho-Y و ...). با توجه به توزیع کاملاً خطی در نمودارهای جفت عناصر یاد شده (شکل ۵ پ تا ج) روشن است که نسبت آنها در گونه‌های فلزیک و مافیک این سنگ‌ها دقیقاً یکسان بوده و بنابراین همه‌ی آنها به یک سری و مشتق شده از خاستگاه واحد هستند.

اولیوین بازالت

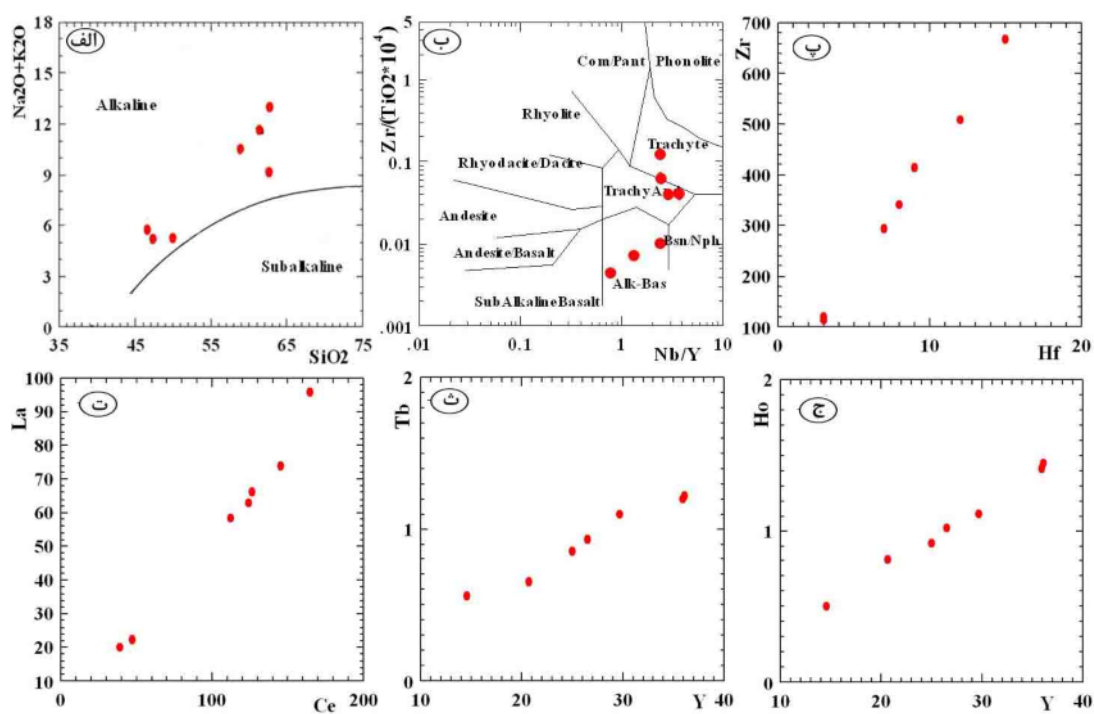
اولیوین بازالت‌ها به صورت توده‌ای و رنگ سطحی سبز تیره هستند و بافت پورفیری دارند (شکل ۴ ب) و درشتبلورها به ترتیب فراوانی عبارتند از الیوین و پیروکسن. غالب بلورهای الیوین خود شکل بوده و به مقدار زیادی به کانی‌های کلریت، ایدنگسیت و کانی‌های کدر دگرسان شده‌اند. اولیوین‌ها دارای شکستگی‌های فراوانی هستند و درون آنها به‌وسیله‌ی کانی‌های کدر پُر شده است. درشتبلورهای پیروکسن به صورت خود شکل تا نیمه خود شکل بوده و تا حدودی دارای پلئوکروئیسم سبز تا بیرنگ هستند که این نشان دهنده میزان بالای سدیم و ماهیت قلیایی است (احتمالاً از برین-اوژیت). خمیره سنگ از میکرولیت‌های دگرسان پلازیوکلاز، بلورهای ریز کلینوپیروکسن، کانی‌های کدر و کریپتوپلوری تشکیل شده است. میکرولیت‌ها طوری به هم تکیه کرده‌اند که فضای زاویه‌داری ایجاد شد و به‌وسیله‌ی کانی‌های دیگر پر شده است.

تراکی آندزیت

تراکی آندزیت‌ها روی زمین به صورت توده‌ای و گاهی به صورت لایه‌بندی با ضخامت متغیر و به رنگ سبز تیره دیده می‌شوند. بافت این سنگ‌ها پورفیری میکرولیتی و جهتیافته و نیز بادامکی است. بادامک‌ها توسط کلسیت یا اکسید آهن پر شده‌اند. بعضی نمونه‌ها به صورت برونبوم (دیوریت) هستند. درشت‌بلورهای سنگ به ترتیب فراوانی شامل پلازیوکلاز و کانی‌های کدر هستند. پلازیوکلازها غالباً تا حدی دستخوش دگرسانی شده‌اند ولی آثار دوقلوئی پلی سنتیک و منطقه‌بندی در آنها دیده می‌شوند. طول بعضی از آنها به ۳ میلی‌متر نیز می‌رسد (شکل ۴ پ). در بعضی از نمونه‌ها بافت غربالی نیز در کانی‌ها دیده می‌شود. کانی‌های کدر غالباً بی‌شكل و به ندرت نیمه‌شکل دار بوده و به صورت میکرو فنوکریست و پراکنده در سنگ وجود دارند. خمیره از میکرولیت‌های سانیدین، میکرولورهای کانی‌های کدر، کانی‌های کریپتوکریستالین و کلریت تشکیل شده است. غالب فلدسپات‌های این سنگ‌ها دستخوش کائولینیتی یا کلریتی شده‌اند. این سنگ‌ها آغشتنگی به اکسید آهن نشان می‌دهند و در ضمن به‌وسیله‌ی رگه‌های کلسیتی متعددی نیز قطع شده‌اند.

تراکیت قلیایی

از نظر مشخصات صحرائی و ساخت، تراکیت‌های قلیایی به صورت توده‌ای و گاهی دارای لایه‌بندی با ضخامت متغیر و به



شکل ۵ موقعیت داده‌های مربوط به سنگ‌های آتشفشاری و نیمه آتشفشاری کرتاسه بالائی منطقه ناگله سر بر روی نمودارهای (الف) TAS [۴]، (ب) رده بندی سنگ‌های آذرین بر اساس عناصر کمیاب غیرمتحرک [۵]، (پ تا ج) نسبت‌های عناصر شدیداً ناسازگار [۶، ۷].

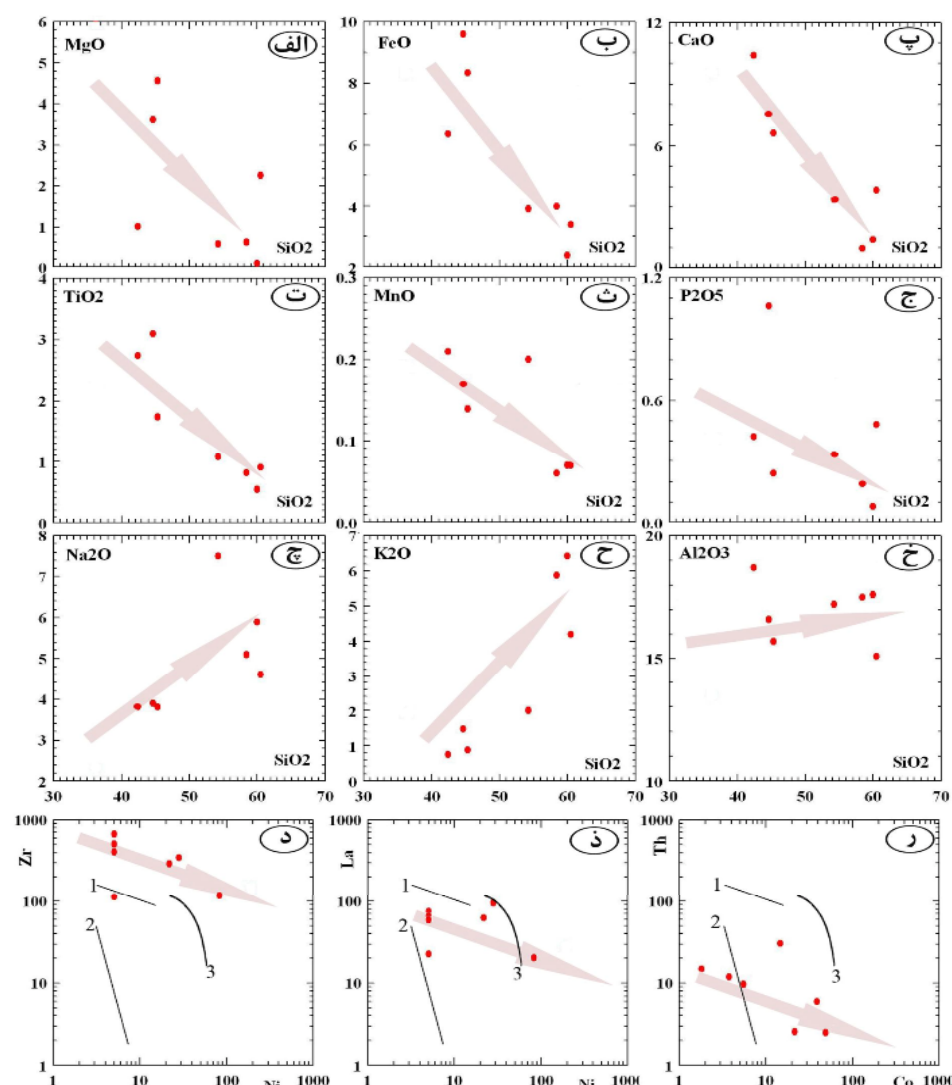
کند. بنا به نظر [۷، ۸] جدایی LREE از HREE به صورت غنی‌شدگی LREE، می‌تواند به دلیل تعادل گدازه با کانی گارنت (به عنوان یک فاز تفاله‌ای در سنگ خاستگاه) باشد. همین اثر در نتیجه‌ی جدایش الیوین، کلینوپیروکسن و ارتوپیروکسن از گدازه نیز قابل دسترسی است، بنابراین با توجه به غنی‌شدگی HREE، جدایی یاد شده در سنگ‌های ناگله‌سر نمی‌تواند به سبب حضور گارنت (که دارای ضریب توزیع بالای ۱۰ برای عناصر HREE است) در سنگ خاستگاه بلکه باید در اثر جدایش کانی‌های الیوین، کلینوپیروکسن و ارتوپیروکسن از گدازه هنگام ذوب‌بخشی یا تبلور تفریقی حاصل شده باشد. عدم وجود بی‌هنجری عنصر Eu نیز از دیگر سرشی‌های الگوهای یاد شده است. تغییرات عناصر کمیاب ناسازگار بهنجر شده با گوشته‌ی اولیه [۱۰] نیز میین ویژگی‌های قابل توجهی است (شکل ۷ ب و پ). عناصر HFSE در این الگوها (چه در سنگ‌های مافیک و چه فلزیک) هماهنگی روشی با یکدیگر نشان می‌دهند ولی عناصر LILE روندهای کاملاً موازی با هم ندارند و این مسئله می‌تواند بخاطر جایه‌جایی آنها در اثر دگرسانی باشد. بی‌هنجری منفی Sr در سنگ‌ها معمولاً به جدایش پلازیوکلارز ربط داده می‌شود، به این دلیل که این عنصر با پلازیوکلارز سازگاری دارد، ولی از آنجاکه Eu فاقد بی‌هنجری

تحولات ماقمایی

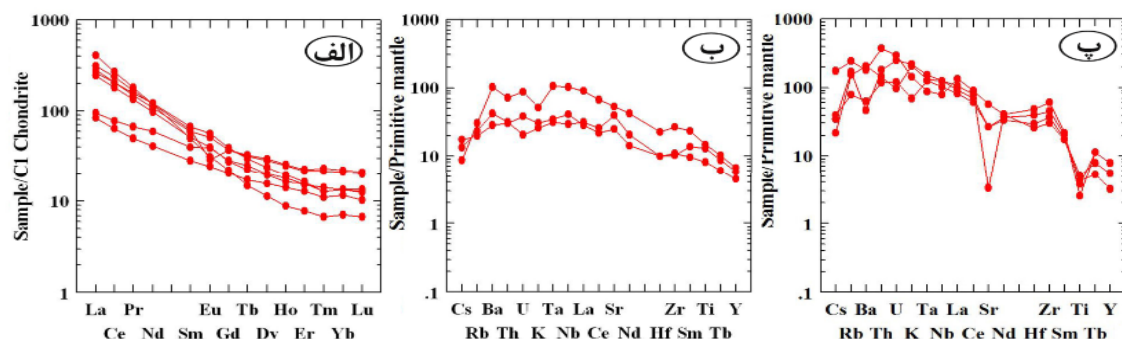
غالب سنگ‌های آتشفشاری و نیمه آتشفشاری منطقه ناگله‌سر از نظر عدد منیزیم، محتوای MgO و Ni دارای مقادیر پائینی هستند (جدول ۱) که نشان می‌دهند محصولات ماقمایی اولیه نیست. روندهای شیمیائی موجود روی نمودارهای تغییرات اکسید عناصر اصلی در برابر SiO_2 (شکل ۶ الف تا خ) و نمودارهای لگاریتمی عناصر کمیاب به شدت ناسازگار در مقابل عناصر بهشت سازگار (شکل ۶ د تا ر) [۸] میین شکل‌گیری آنها از یک خاستگاه واحد در اثر پدیده‌ی تبلور تفریقی است. الگوهای REE بهنجر شده سنگ‌های آتشفشاری کرتاسه‌ی بالائی منطقه ناگله‌سر با استفاده از داده‌های مربوط به کندریت-های نوع (C1) ارائه شده [۹] در شکل ۷ الف آمده است. چنانکه مشاهده می‌شود، هماهنگی روشی بین تمام الگوهای REE سنگ‌های آتشفشاری کرتاسه‌ی بالائی منطقه ناگله‌سر وجود دارد و بدین معناست که آنها هم ریشه هستند. در این الگوها جدایی مشخصی بین اعضای سنگین و سبک REE دیده می‌شود به نحوی که LREE‌ها بسیار غنی‌شده‌ترند. درجه‌ی جدایش REE سبک به سنگین که از روی نسبت $(\frac{La}{Yb})_N$ مشخص می‌شوند بین ۵۴/۲۸۹ تا ۶۶/۶۱۶ تغییر می-

جدایی اوژیت [۱۲] و مگنتیت [۱۳] نیز روی نسبت یاد شده موثر است. تبلور اکسیدهای V, Fe-Ti در سنگ‌های آتشفشاری به‌واسطه‌ی یک روند کاهشی در نسبت‌های V/Ti و Ti/Zr در گدازه‌های باقیمانده بازتاب می‌باید ([۱۴, ۱۱]). همبستگی عناصر Sr و Ba با SiO_2 مبین تبلور تفریقی به عنوان فرآیند غالب شکل‌گیری ماقماست [۱۵] (شکل ۸ ث و ج). نمودارهای نسبت‌های عنصری اصلی و کمیاب (شکل ۸) بهروشنی نشان می‌دهند که فازهای جدا شده غالباً کلینوپیروکسن، اکسیدهای آهن - تیتانیوم و آمفیبول هستند. بی‌亨جاری منفی Ti روی نمودارهای عنکبوتی (شکل ۷ پ) بازتاب دهنده‌ی جدایی ایلمنیت و یا تیتانیت است.

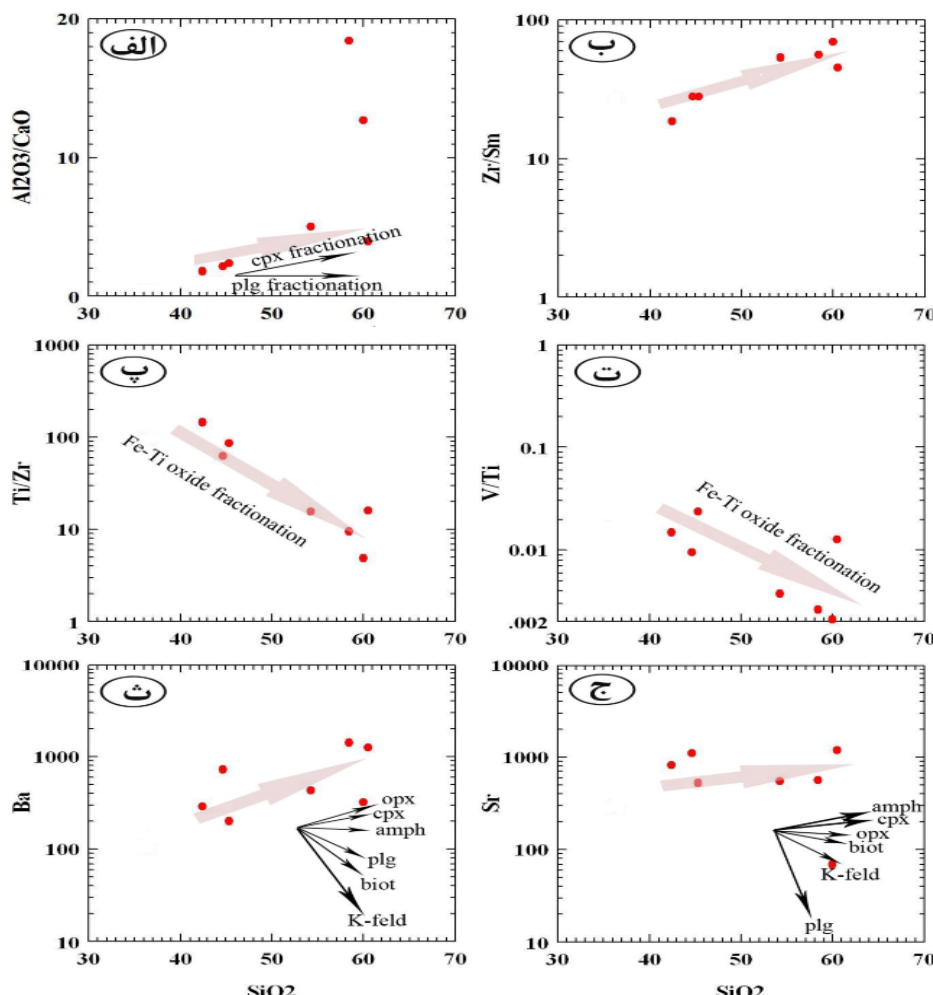
منفی است (شکل ۷ الف) بنابراین بی‌亨جاری عنصر Sr به تفریق پلازیوکلاز وابسته نبوده و تحت تاثیر فعالیت شاره‌ها ایجاد شده است. نمودارهای تغییرات نسبت‌های عناصر اصلی (شکل ۸ الف) و کمیاب (شکل ۸ ث و ج) نیز مبین عدم جدایی پلازیوکلاز و تائید کننده مدعای فوق است. بی‌亨جاری مثبت Sr در بعضی نمونه‌ها با فراوانی مدي کانی پلازیوکلاز در این سنگ‌ها رابطه مستقیم دارد. در نمودارهای عنکبوتی Y-Zr و Ti-Zr دارای بی‌亨جاری منفی است. تغییر در محتوای Y و Sm در یک سری ماقمائي به خوبی به ماهیت و نسبت فازهای تبلور یافته مربوط می‌شود ([۱۱]). غنی‌شدگی Zr نسبت به Sm در نتیجه جدایی آمفیبول است [۱۲] (شکل ۸ ب). بعلاوه



شکل ۶ الف تا خ) نمودارهای تغییرات اکسیدهای عناصر اصلی در مقابل سیلیس و د - ر) نمودارهای لگاریتمی مبین فرآیند غالب حاکم بر تحول ماقمائي تشکيل دهنده، وابسته به سنگ‌های آتشفشاری ناگله سر. روند ۱، ۲ و ۳ به ترتیب مبین تبلور جدایشی، ذوب بخشی و اختلاط ماقمائي هستند [۸].



شکل ۷ الف) الگوهای REE بهنجار شده به داده‌های کندریتی [۹]. ب و پ) به ترتیب نمودارهای عنکبوتی انواع فلسیک و مافیک سنگ‌های مورد بررسی که بر اساس مقادیر گوشته اولیه [۱۰] بهنجار شده‌اند.



شکل ۸ نمودارهای تغییرات نسبت‌های عناصر اصلی و کمیاب در مقابل سیلیس وابسته به سنگ‌های آتشفشاری کرتاسه بالائی ناگلهسر. الف) نسبت $\text{Al}_2\text{O}_3/\text{CaO}$ متمايز کننده‌ی تفریق پلازیوکلاز و کلینوپیروکسن است. ب) تغییر در نسبت Zr/Sm عموماً به تفریق آمفیبول نسبت داده می‌شود [۱۲]، با این حال تفریق کلینوپیروکسن [۱۲] و مگنتیت [۱۳] نیز ممکن است بر این نسبت تاثیر گذارد. پ و ت) تغییرات V/Ti و Ti/Zr به نحو روشنی مبین جدایش اکسید Fe-Ti است ([۱۴، ۱۱]). با این وجود تفریق آمفیبول نیز بر آن موثر است. ث و چ) شاخص‌ها مبین بردارهای نظری تفریق رایلی هستند که برای تبلور فازهای کانیائی منفرد ساخته شده‌اند [۱۵]. علامت اختصاری عبارتند از: amp: amphibole, plg: plagioclase, K-feld: K-feldspar, bio: biotite, cpx: clinopyroxene and opx: orthopyroxene

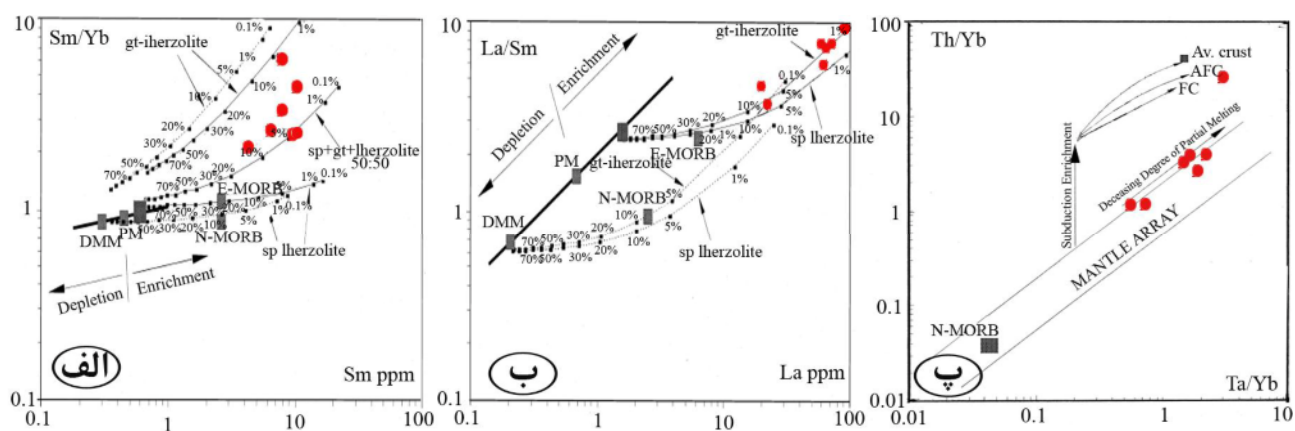
پوسته‌ای نیز ممکن است Th/Yb را نسبت به Ta/Yb افزایش دهد زیرا تمرکز Th در پوسته از Ta بیشتر است. غالباً داده‌های مربوط به منطقه مورد بررسی روی نمودار Th/Yb در مقابله با Ta/Yb در آرایه‌ی گوشته قرار می‌گیرند، بنابراین باستی از ذوب ۱- یک گوشته‌ی غنی شده یا ۲- ذوب بخشی اندک یک خاستگاه گوشته‌ای دارای گارنت و یا ۳- ترکیبی از هر دو حاصل شده باشد. با عنایت به شکل‌های ۹ الف و ب، مورد سوم صحیح‌تر به نظر می‌رسد. با این حال انحراف جزئی به سمت میانگین پوسته (Av. crust) نیز در داده‌ها مشهود است (شکل ۹ پ) بنابراین مآگما تحت تاثیر مشکل‌های فرورانش نبوده ولی تا حدی دستخوش آلایش پوسته‌ای شده است.

الگوی عناصر کمیاب بهنجار شده با مقادیر OIB (ارائه شده توسط [۱۸]) مربوط به نمونه‌های منطقه‌ی مورد بررسی (شکل ۱۰ الف) نشان می‌دهد که صرف نظر از تغییرات جزئی، شیب کلی الگوها تقریباً افقی و دارای غنی‌شدگی یا تهی‌شدگی اندک (و یا حتی فاقد غنی‌شدگی) است، و این بیانگر تشابه خاستگاه OIB گوشته‌ای مآگمای سنگ‌های منطقه ناگله سر و خاستگاه و نیز عدم تفرق عنصری شدید مآگما نسبت به گوشته‌ی خاستگاه است. نسبت‌های کوچک La/Nb و Ba/Nb [۱۹] نیز میان خاستگاه گوشته‌ای OIB است.

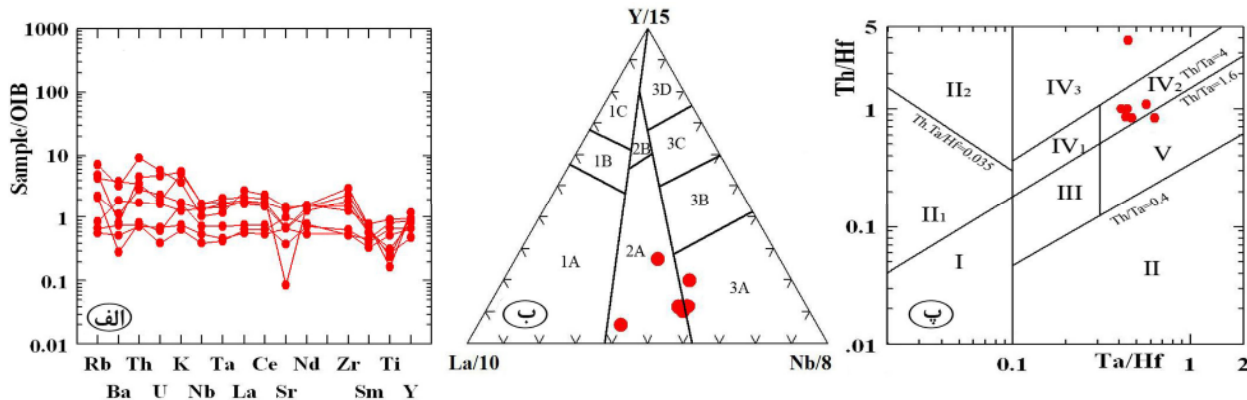
به کارگیری نمودارهای جداکننده حکایت از تعلق مآگماتیسم این منطقه به ریفت‌های داخل صفحه قاره‌ای دارد. در شکل ۱۰ ب موقعیت نمونه‌های منطقه مورد بررسی در نمودار تفکیکی 8/La-10-Y/15-Nb از [۲۰] نشان داده شده است، چنانکه مشاهده می‌شود بیشتر نمونه‌ها در گستره‌ی بازالت‌های قلیایی وابسته به ریفت‌های داخل صفحه قاره‌ای واقع می‌شوند (شکل ۱۰ ب). نسبت‌های Ta/Hf و Th/Hf اساساً در طول تبلور جدایشی مآگما هیچ‌گونه تغییری نشان نمی‌دهند. بنابراین نسبت‌های نامبرده در سنگ‌های مآگمایی و سنگ‌هایی که درجه‌ای از تبلور تفریقی را تجربه کردند می‌تواند مستقیماً مشخصات تمایزی Th، Ta و Hf در منطقه مبدأ را بازتاب دهد و نسبت‌های آنها تقریباً برابر با نسبت‌های منطقه‌ی خاستگاه است. در نمودار شکل ۱۰ پ [۲۱] بیشتر نمونه‌ها در گستره‌ی IV₂ یعنی قلیایی بازالت‌های مناطق ریفت درون قاره‌ای قرار می‌گیرند.

خاستگاه و جایگاه تکتونوماگماتی

به منظور توصیف و ارزیابی خاستگاه مآگمای تشکیل دهنده از نظر ترکیب کانی‌شناسی و درجه ذوب‌بخشی، از عناصر خاکی نادر می‌توان بهره برد. عناصر بهشت ناسازگار (La) و کمی ناسازگار (Sm) هیچ‌کدام به مقدار زیادی تحت تاثیر تغییرات ترکیب کانی‌شناسی خاستگاه (نظیر گارنت یا اسپینل) قرار نمی‌گیرند، بنابراین قادر به ارائه اطلاعات مفیدی از ترکیب کلی گوشته هستند [۱۶]. از طرف دیگر، نسبت Sm/Yb به ترکیب کانی‌شناسی خاستگاه وابسته است، زیرا که Yb به شدت در گارنت نسبت به کلینوپیروکسن و یا اسپینل سازگار است [۱۶]. برای درک کانی‌شناسی و درجه ذوب‌بخشی ناحیه خاستگاه از نمودارهای تغییرات لگاریتمی La/Sm نسبت به Sm/Yb در برابر Yb (شکل ۹ الف و ب) استفاده شد. در این شکل‌ها خطوط منحنی ممتد و منقطع نشان دهنده‌ی روند تغییر ترکیب گدازه‌هایی است که با درجات مختلف ذوب‌بخشی از گوشته اسپینل لرزولیتی و گارنت لرزولیتی مشتق شده‌اند. اعداد روی خطوط درجه‌ی ذوب‌بخشی را نشان می‌دهند. نمونه‌های مورد بررسی از نظر فراوانی عناصر La، Yb و Sm همگی ترکیبی مشابه با گدازه‌های مشتق شده از گوشته‌ی غنی شده را دارند و در گستره‌ی منطبق با حدود ۱ تا ۱۰ درصد ذوب‌بخشی لرزولیت گارنت و اسپینل دار (با برتری نسبی گارنت) قرار می‌گیرند. سنگ‌های مورد بررسی نمودار در مقابله Th/Yb-Ta/Yb [۱۷] نیز ترسیم شدند (شکل ۹ پ). نسبت‌های یاد شده تقریباً با ذوب‌بخشی و یا تبلور بخشی کلینوپیروکسن و پلازیوکلاز (به عنوان فازهای غالب باقیمانده یا تبلور یافته) دستخوش تغییر نمی‌شوند؛ بنابراین می‌تواند تغییرات خاستگاه یا هضم پوسته را به تصویر بکشند. مآگمایی بازالتی مشتق شده از پلوم و گوشته‌ی استنوسفری (گوشته‌ی مورب تهی شده DMM) یا لیتوسفر که بهوسیله‌ی گدازه‌های مشتق شده از استنوسفر (با درجه اندک) غنی شده‌اند، همگی در داخل یا نزدیک به آرایه گوشته‌ای قرار می‌گیرند. ولی دگرنهادی منطقه خاستگاه با فرآیندهای فرورانش منجر به غنی‌شدگی Th نسبت به Ta می‌شود و سبب برتری Ta/Yb نسبت به Yb/Xb خواهد شد زیرا مشکلات فرورانش‌ها به طور کلی فقط قادر به جابه‌جایی Th هستند نه Ta یا Yb. آلایش



شکل ۹ نمودارهای نسبت (الف) Sm/Yb در برابر La/Sm (ب) La در مقابل Sm ppm و (پ) نمودار Th/Yb در مقابل Ta/Yb در مقابله با آتشفشاری [۱۶]. [پ] نمودار Ta/Yb در مقابله با لگاریتمی منطقه مطالعه [۱۷].



شکل ۱۰ (الف) الگوهای عناصر کمیاب بهنجار شده به OIB بر اساس مقادیر [۱۸]. (ب) نمودار تفکیکی La/10-Y/15-Nb/8 [۲۰]. (پ) محدوده ۱ در برگیرنده بازالت‌های کمان آتشفشاری، محدوده ۲ بازالت‌های قاره‌ای و محدوده ۳ بازالت‌های اقیانوسی است. نمونه‌های مورد مطالعه در محدوده ۲A: بازالت‌های قاره‌ای و ۳A: بازالت‌های قاره‌ای ریفت درون قاره‌ای قرار می‌گیرند. (پ) نمونه‌های منطقه مطالعه در نمودار لگاریتمی Th/Hf در برابر Ta/Hf اقتباس از [۲۱] نیز در مناطق IV: بازالت‌های مناطق درون صفحه‌ای قاره‌ای [IV2] آلکالی بازالت‌های مناطق ریفت درون قاره‌ای IV3: بازالت‌های مناطق کمربندهای کششی قاره‌ای یا ریفت اولیه [۱۷] و V: بازالت‌های مناطق پلومهای گوشه‌ای واقع می‌شوند.

به پوسته‌ی قاره‌ای نیز رخ داده است و مهمترین فازهای جدا شده کلینوپیروکسن، اکسیدهای آهن و نیتیانیم و آمفیبیول بوده‌اند. ماقمای تشکیل دهنده از یک خاستگاه گوشه‌ای ریشه گرفته و ترکیبی مشابه با گذارهای مشتق شده از گوشه غنی شده را دارند و در گستره‌ی همسان با حدود ۱ تا ۱۰ درصد ذوب‌بخشی لرزولیت گارنت و اسپینل دار (با برتری نسبی گارنت) قرار می‌گیرند. این سنگ‌ها در یک جایگاه ریفتی درون قاره‌ای ایجاد شده‌اند.

قدرتانی

این مقاله حاصل بخشی از طرح پژوهشی است که در دانشگاه آزاد اسلامی واحد لاهیجان به تصویب رسیده است، لذا از

برداشت براساس جمع‌بندی اطلاعات معلوم شد که سنگ‌های مورد بررسی از نظر سنگنگاری دُلریت، اولیوین بازالت، تراکی آندزیت و قلیایی تراکیت و از حیث شیمیایی، جزء سری ماقمایی قلیایی (متوسط) بوده و بین ترمها وقفه دیده می‌شود، به طوری که در دو گروه متمایز، دارای ترکیب بازالتی (مافیک) و تراکیتی (فلسیک) قرار می‌گیرند. هماهنگی روشی بین تمام الگوهای REE وجود دارد و این بدین معناست که آنها نیز هم خاستگاه هستند ولی با توجه محتوای نیکل و عدد منیزیم دستخوش شکل‌گیری ماقمایی شده‌اند. تفریق بلورین مهمترین فرآیند شکل‌گیری ماقمایی بوده است ولی آلایش جزئی نسبت

olivine-bearing gabbros from the Northern Apennine ophiolites (Italy): evidence for post-cumulus crystallization in MOR-type gabbroic rocks”, Contributions to Mineralogy and Petrology 134 (1999) 123–133.

[14] Nielsen R.L., Forsythe L.M., Gallahan W.E., Fisk M.R., “Major- and trace element magnetite-melt equilibria”, *Chemical Geology* 117 (1994) 167–191.

[15] Boztug D., Harlavan Y., Jonckheere R., Can I, Sari R., “Geochemistry and K-Ar cooling ages of the Ilıca, C, ataldağ (Balıkesir) and Kozak (İzmir) granitoids, west Anatolia, Turkey”, *Geological Journal* 44 (2009) 79–103.

[16] Aldanmaz E., Pearce J.A., Thirlwall, M.F., Mitchell J.G., “Petrogenetic evolution of late Cenozoic, post-collision volcanism in western Anatolia, Turkey”, *Journal of Volcanology and Geothermal Research* 102 (2000) 67–97.

[17] Pearce J.A., Bender J.F., De Long S.E., Kidd W.S.F., Low P.J., Güner Y., Şaroğlu F., Yilmaz Y., Moorbath S., Mitchell J.J., “Genesis of collision volcanism in eastern Anatolia Turkey”, *Journal of Volcanology and Geothermal Research* 44 (1990) 189–229.

[18] Sun S.S., “Lead isotopic study of young volcanic rocks from mid-ocean ridges, ocean islands and island arcs”, *Philosophical Transactions of the Royal Society of Scotland* A297 (1980) 409–445.

[19] Jahn B.M., Wu F.Y., Lo C.H., “Crust–mantle interaction induced by deep subduction of the continental crust: geochemical and Sr–Nd isotopic evidence from post collisional mafic–ultramafic intrusions of the northern Dabie Complex, Central China”, *Chemical Geology* 157 (1999) 119–146.

[20] Cabanis B., Lecolle M., “Le diagramme La/10-Y/15-Nb/8: un outil pour la discrimination des séries volcaniques et la mise en évidence des processus de mélange et/ou de contamination crustale”, *C.R.Acad. Sci. Ser. II*. 309 (1989) 2023–2029.

[21] Wang Y., Zhang C., Xiashuzhi B., “Th/Hf - Ta/Hf discrimination diagram of geotectonic settings of formation of basalts”, *Acta petrologica sinica*.17 (2001) 413-421(in Chinese with English abstract).

حمایت‌های مالی این دانشگاه بخصوص حوزه‌ی معاونت پژوهشی واحد صمیمانه قدردانی می‌شود.

مراجع

- [1] آقاباتی ع، ”زمین‌شناسی ایران“، سازمان زمین‌شناسی و اکتشافات معدنی کشور، (۱۳۸۵) ۶۱۹ ص.
- [2] Alavi M., “Tectonic map of the Middle East”, Geological Survey of Iran, Tehran, (1991).
- [۳] وحدتی دانشمند ف، ”تلفیق و به طور بخشی بازنگری و تکمیل نقشه و گزارش ورقه ۱/۱۰۰۰۰۰ آمل“، سازمان زمین-شناسی و اکتشافات معدنی کشور، (۱۳۷۸).
- [4] Miyashiro A.I., “Volcanic rock series in island arcs and active continental margins”, *American Journal of Science*. 244 (1974) 324-335.
- [5] Winchester J.A., Floyd P.A., “Geochemical discrimination of different magma series and their differentiation products using immobile elements”, *Chemical Geology* 20 (1977) 325–343.
- [6] Rollinson H.R., “Using geochemical data: evaluation, Presentation, interpretation”, Longman Scientific & Technical (1993) 322 pp.
- [7] Wilson M., “Igneous petrogenesis”, Unwin Hyman, (1989) 466 pp.
- [8] Cocherie A., “Systematic use of trace element distribution pattern in log-log diagrams for plutonic suite”, *Geochimica et Cosmochimica Acta* 50 (1986) 2517–2522.
- [9] McDonough W.F., Sun S.S., “Composition of the Earth”, *Chemical Geology* 120 (1995) 223–253.
- [10] McDonough W.F., Sun S., Ringwood A.E., Jagoutz E., Hoffman A.W., “K, Rb, and Cs in the earth and moon and the evolution of the earth’s mantle”, *Geochimica et Cosmochimica Acta*, Ross Taylor Symposium volume (1991).
- [11] Pearce J.A., Norry M.J., “Petrogenetic implications of Ti, Zr, Y and Nb variations in volcanic rocks”, *Contribution to Mineralogy and Petrology*, 69 (1979) 33–47.
- [12] Thirlwall M.F., Smith T.E., Graham A.M., Theodorou N., Hollings P., Davidson J.P., Arculus R.J., “High field strength element anomalies in arc lavas; source or process?”, *Journal of Petrology* 35 (3) (1994) 819–838.
- [13] Tribuzio R., Tiepolo M., Vannucci R., Bottazzi P., “Trace element distribution within